

Freedman 原論文に学ぶ 6章・8章

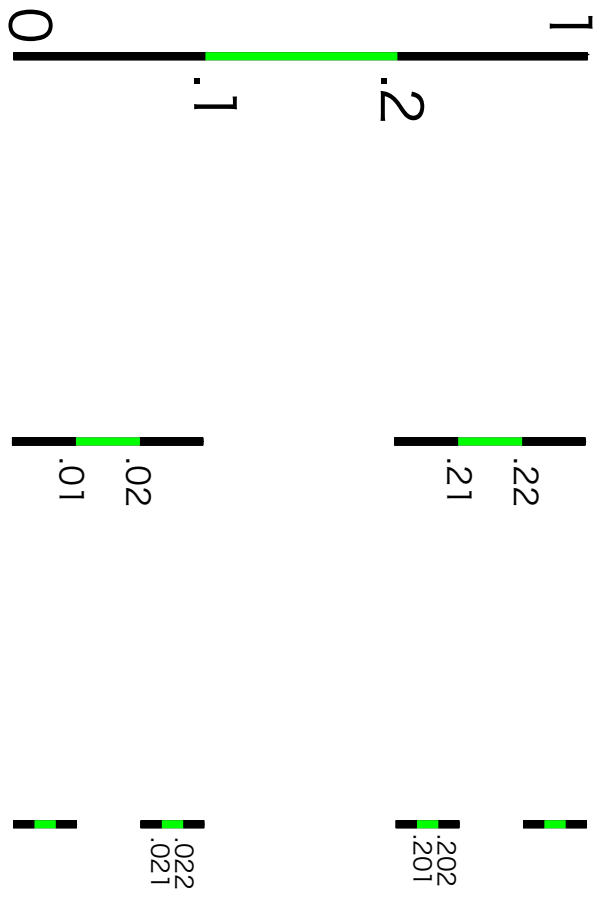
山田 裕一 (電気通信大学)

その1

- 6章：
The decomposition space $\text{CH}/\text{gaps}+$
intermediate between CH and H
- 8章：

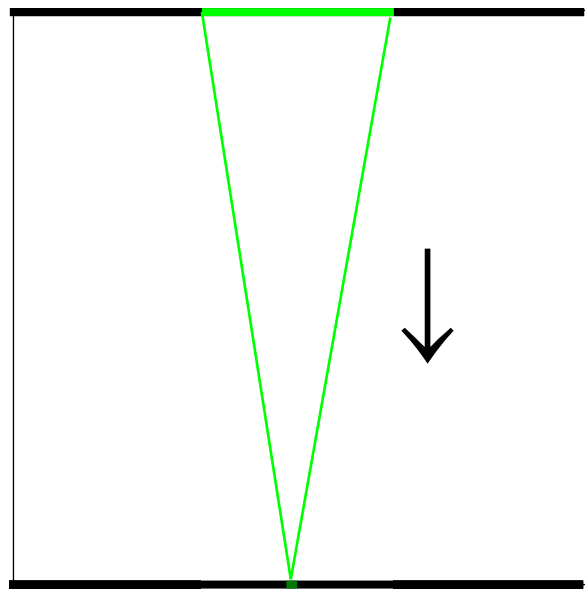
The approximation of $\alpha : H \rightarrow \text{CH}/\{\text{gap}+\}$

- $\text{CS} = \{0.c_1c_2c_3 \cdots \in [0, 1] \text{ (3進法)} \mid \text{各 } c_i \text{ は } 0 \text{ か } 2\}$
- $.01 = .00222 \dots \in \text{CS} \text{ とみなす.}$



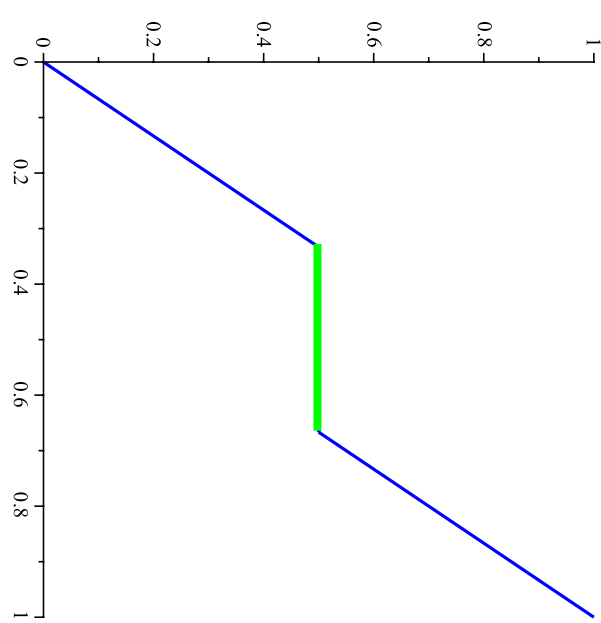
第 1 段階で取り除かれる middle third が開 $(1/3, 2/3) = (.1, .2)$
 緑は除く色! 除くときは開集合. つぶすときは閉集合でつぶす.

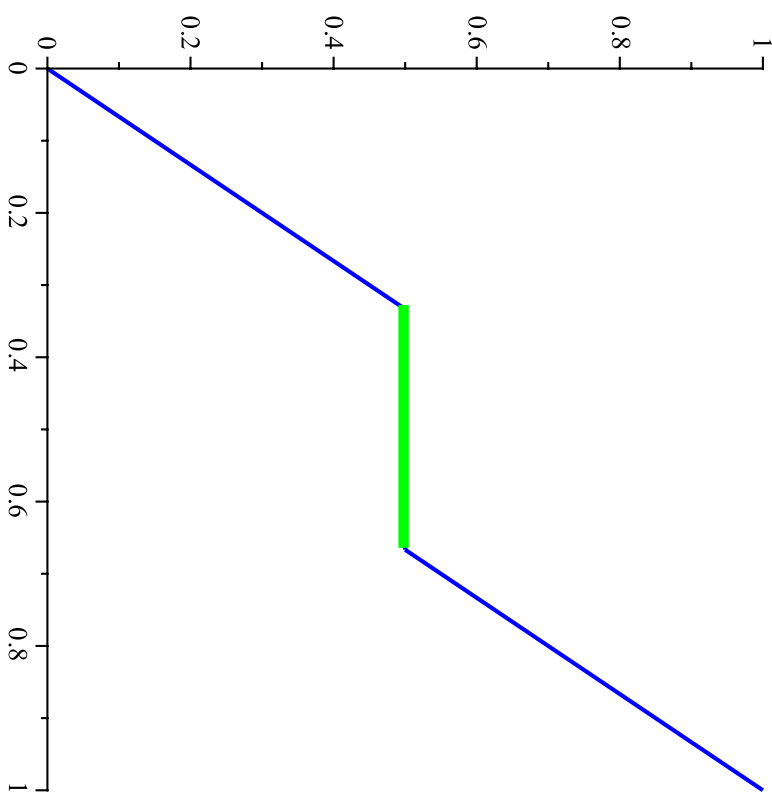
Cantor function \wedge



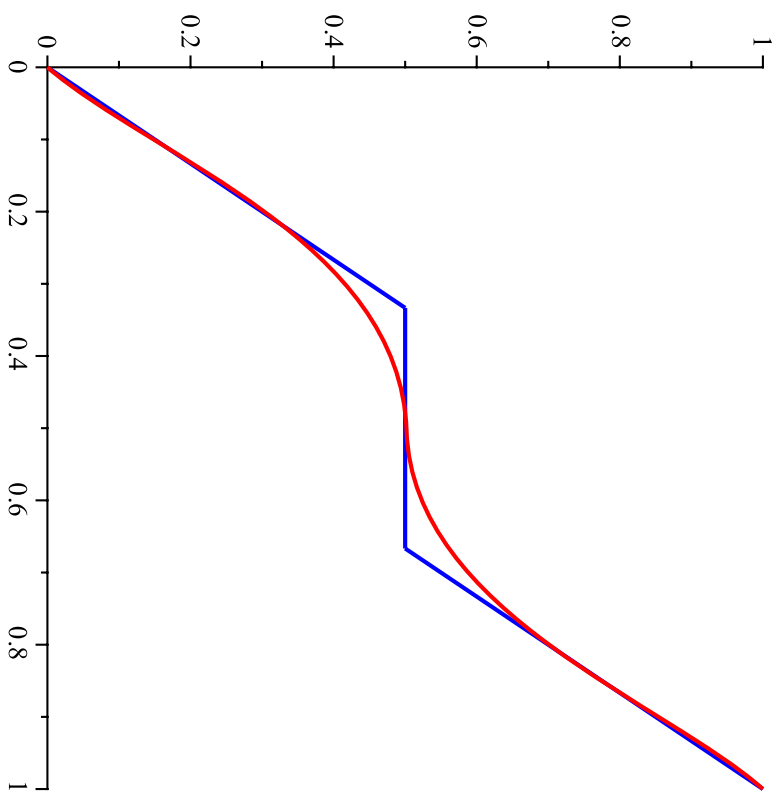
First step to define Cantor set/function F_n

$$\overline{D}(F_1) = \{[1/3, 2/3]\} = \{[.1, .2]\}$$
 3進法で

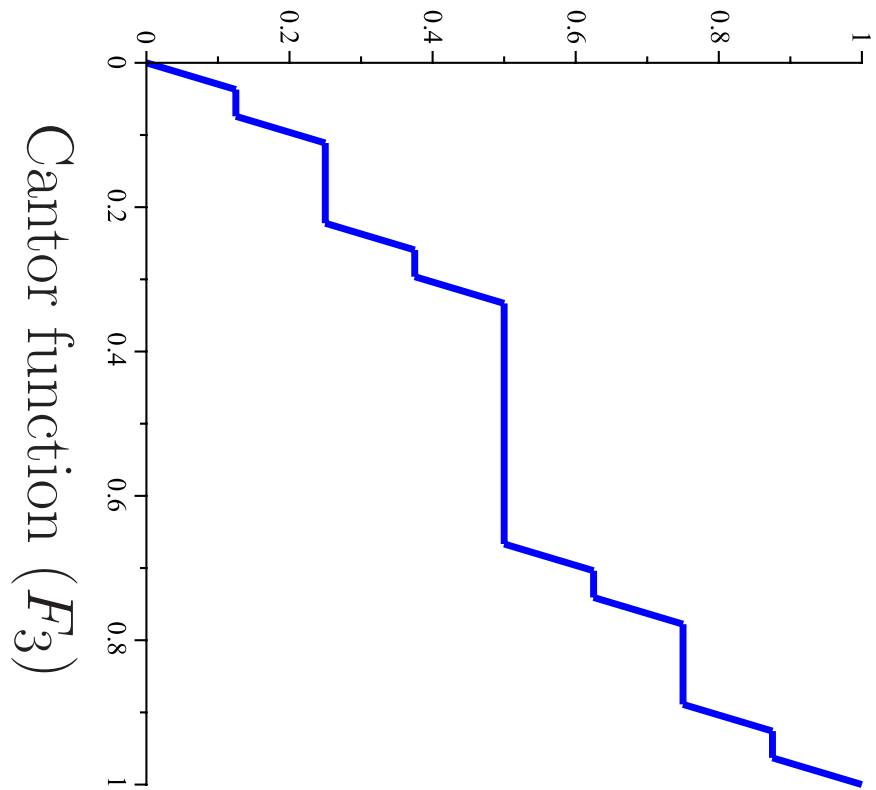




F_1 is Approximable By Homeo



$$\begin{aligned}\overline{D}(F_2) &= \{[1/3, 2/3], [1/9, 2/9], [7/9, 8/9]\} \\ &= \{[.1, .2], [.01, .02], [.21, .22]\}\end{aligned}$$



Cantor 集合 CS

- $CS = \{0.c_1c_2c_3\cdots \in [0, 1] | 3\text{進法} \mid \forall c_i \mid c_i \neq 0 \wedge c_i \neq 2\}$
- CS は perfect (全ての点が集積点) (p.408)

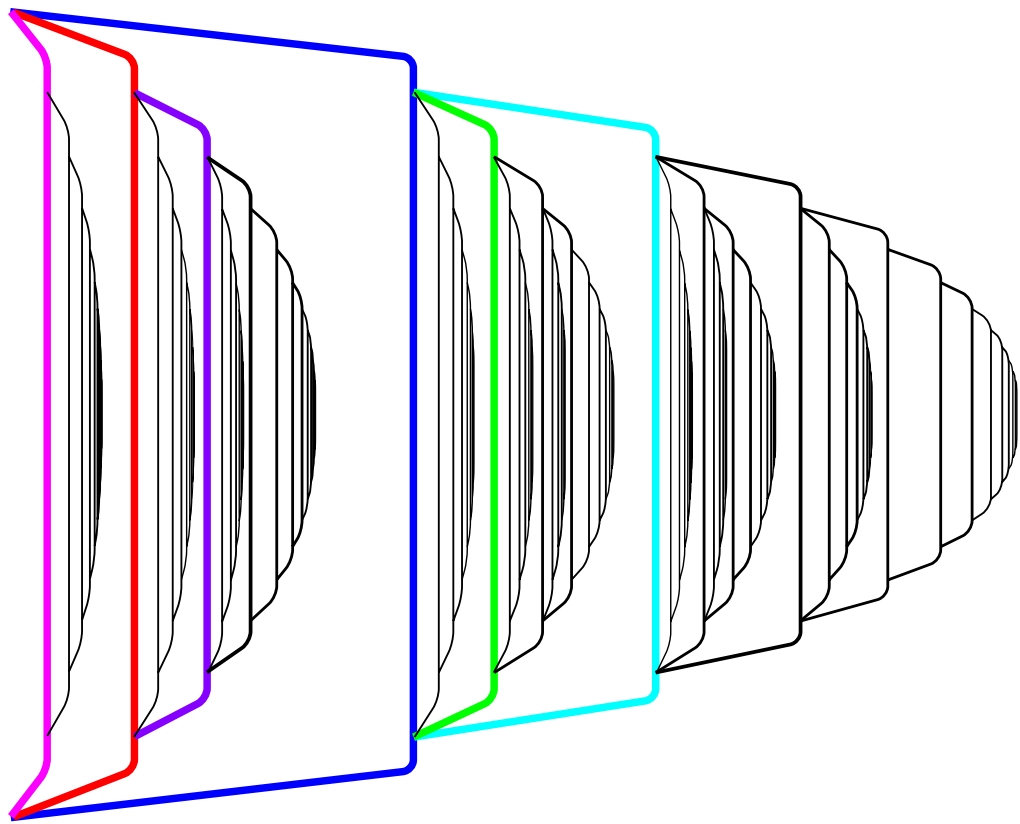
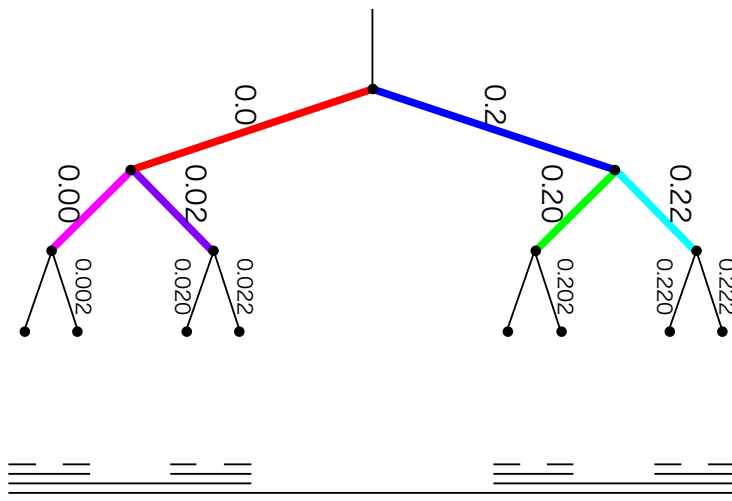
$$\forall x \in A, \quad x \in \overline{A - \{x\}}$$

- CS^- is “CS with end points deleted” (p.408)

「何回目かの stage で残った部分 (left piece) の端点」
 $.c_1c_2\cdots c_n22222\cdots$ や $.c_1c_2\cdots c_n00000\cdots$
を除いたもの (c_i は 0 か 2)

$x = .c_1c_2\cdots c_n22222\cdots \in CS$ は、残ったときの上端なので
上からの集積点にはならない。

Cantor set tree and reembedded CHs



考察 次の性質をもつ, CS にパラメトライズされた CH 達の包含
列 $\{\text{CH}_r\}_{r \in \text{CS}}$ が 親 CH 内に構成されている.

- (1) 親 CH = CH.2222...
- (2) $r < r' \in \text{CS} \Rightarrow \text{CH}_r \subset \text{CH}_{r'}$
たゞし CH_r 達の Attching part の core ($\cong S^1$) は共通.
- (3) r と r' が小数点 k 行まで一致すれば, k 世代までは一致.
— 正確には CH_r ではなく K_r (Shapiro-Bing compact 化)

考察 次の性質をもつ, CS にパラメトライズされた CH 達の包含
列 $\{\text{CH}_r\}_{r \in \text{CS}}$ が 親 CH 内に構成されている.

- (1) 親 CH = CH.2222...
- (2) $r < r' \in \text{CS} \Rightarrow \text{CH}_r \subset \text{CH}_{r'}$
ただし CH_r 達の Attching part の core ($\cong S^1$) は共通.
- (3) r と r' が小数点 k 行まで一致すれば, k 世代までは一致.
— 正確には CH_r ではなく K_r (Shapiro-Bing compact 化)

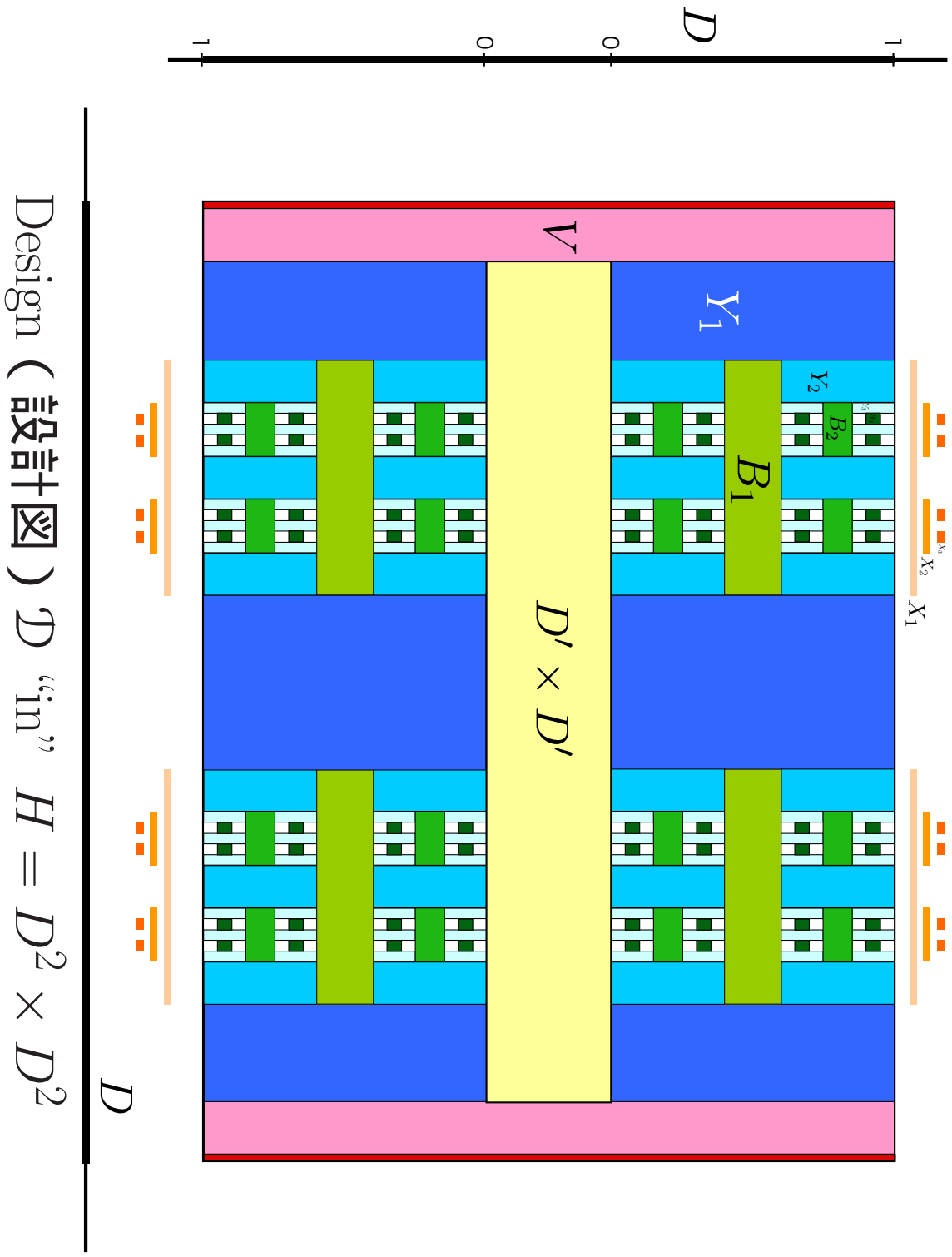
これ, 通常の 2-handle $H = D_1^2 \times D_2^2$ では簡単.

$$D_1^2 \times D_2^2(r)$$

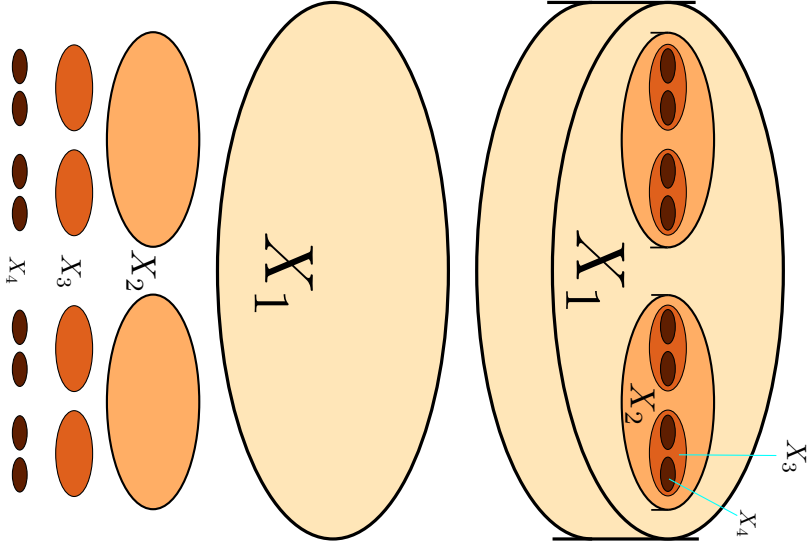
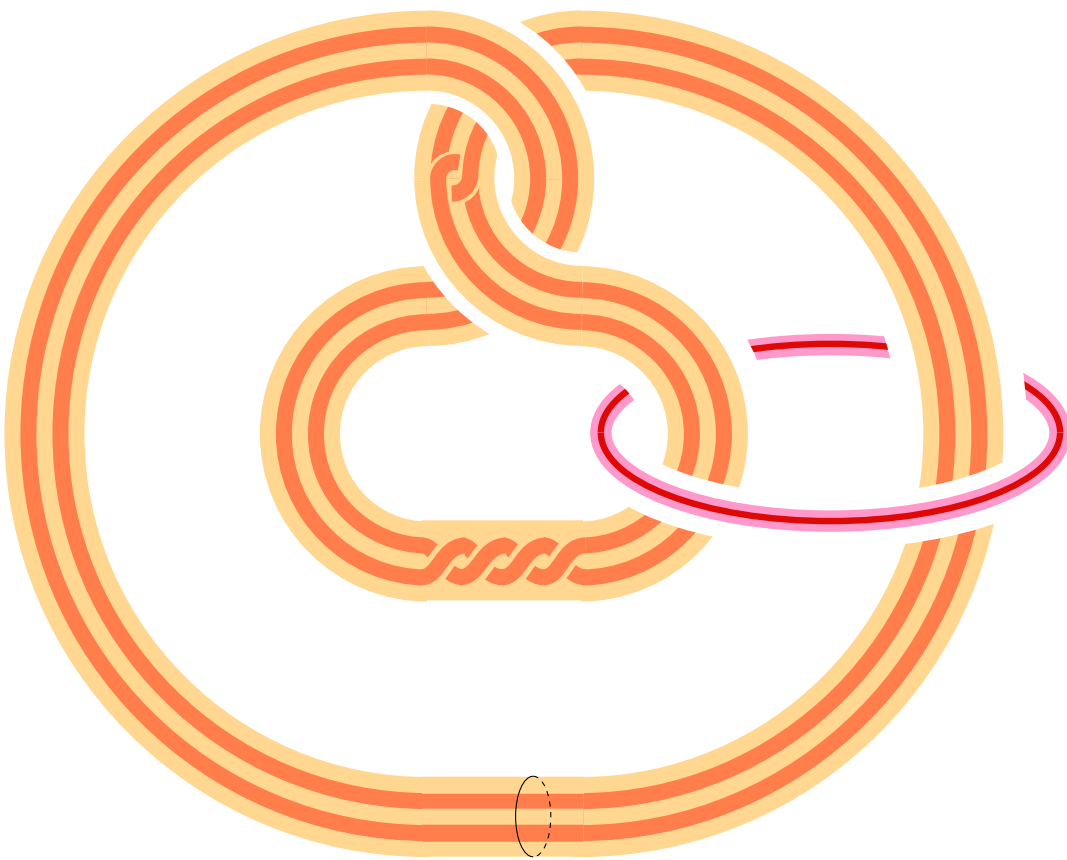
$D^2(r)$ は 半径 r ($r < 1$) の円板
— そう思えば 写像 $g : \text{Design}\mathcal{D} \rightarrow \text{CH}$ が不自然ではない —

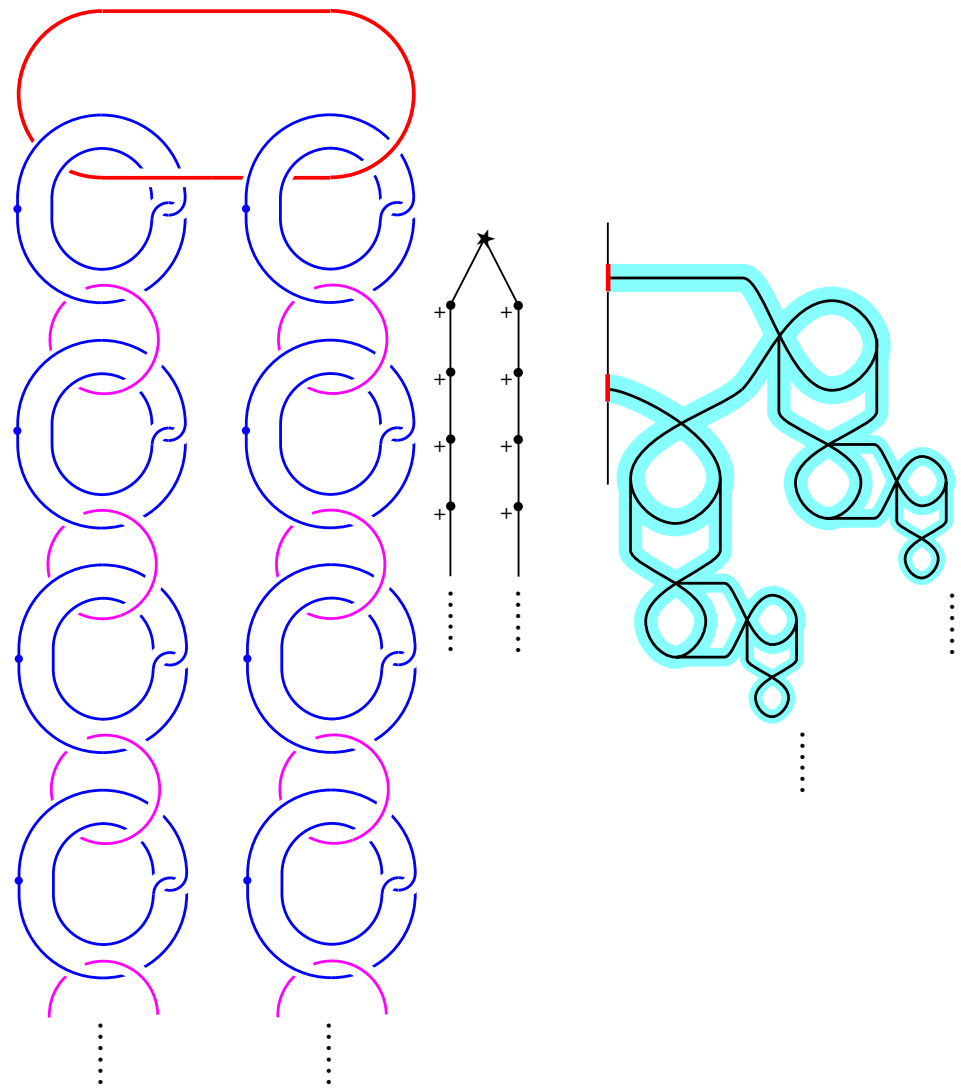
Freedman's Diagram 5.4

Y. YAMADA

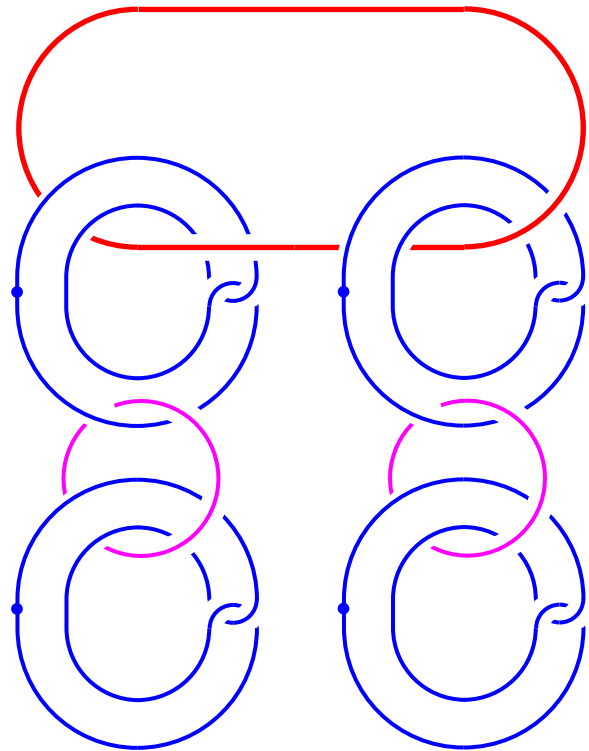


\supseteq の図では $X_n = W_n$ ($\overline{\pi}$ 且 Whitehead Wh_n)

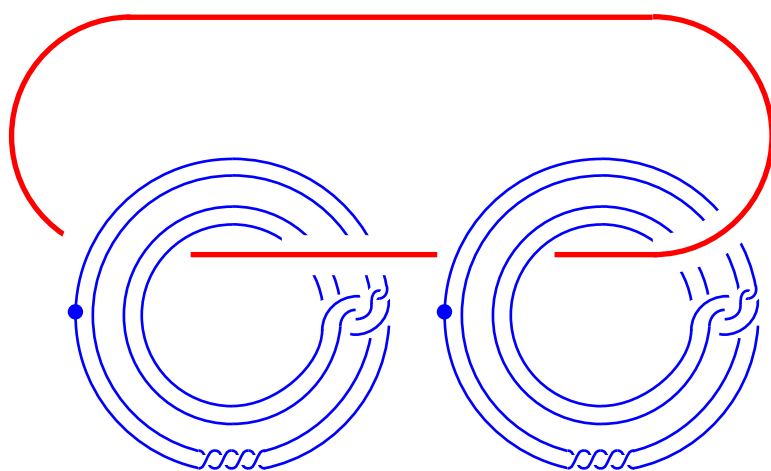




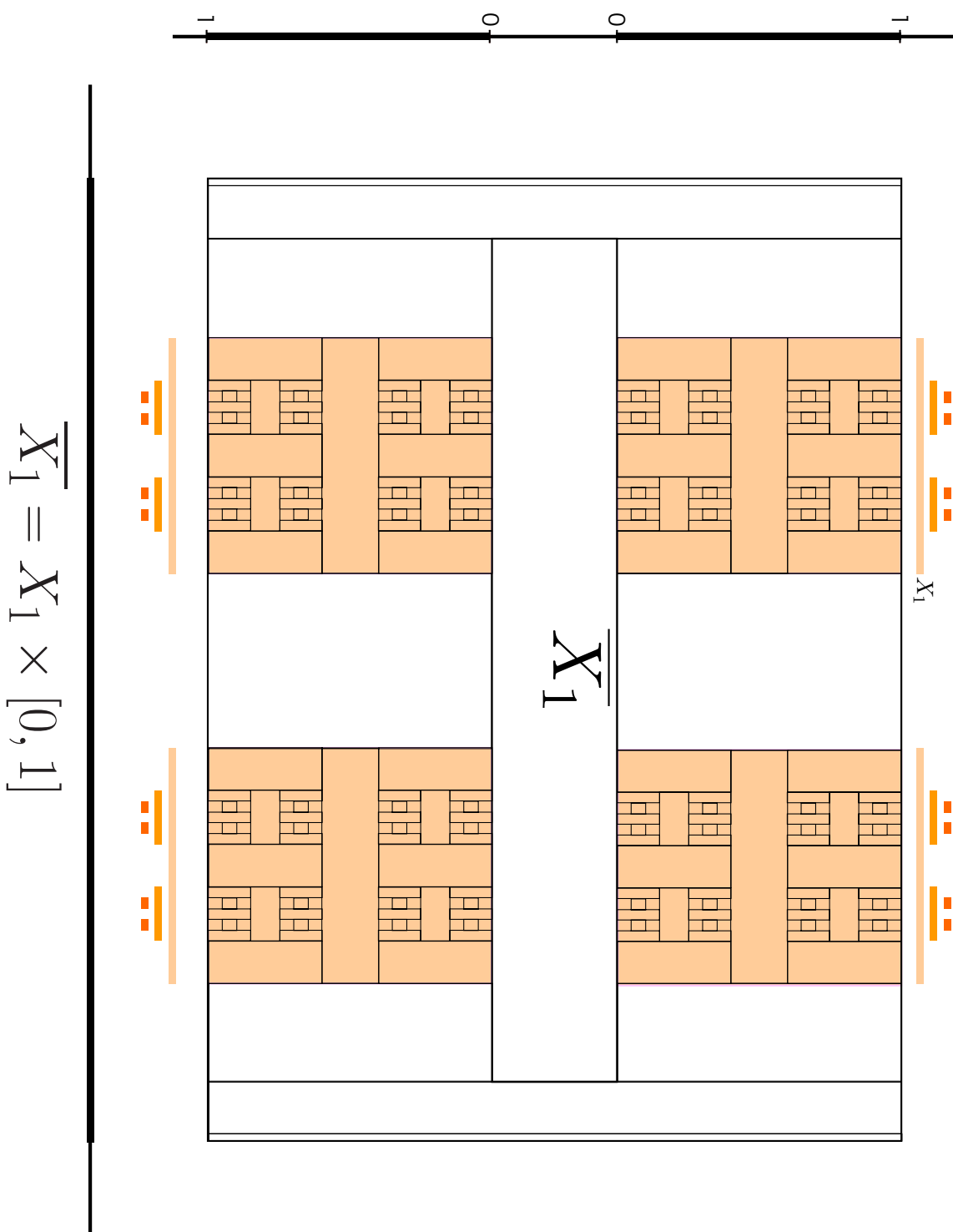
More complicate X_2 (3 章 p.396)



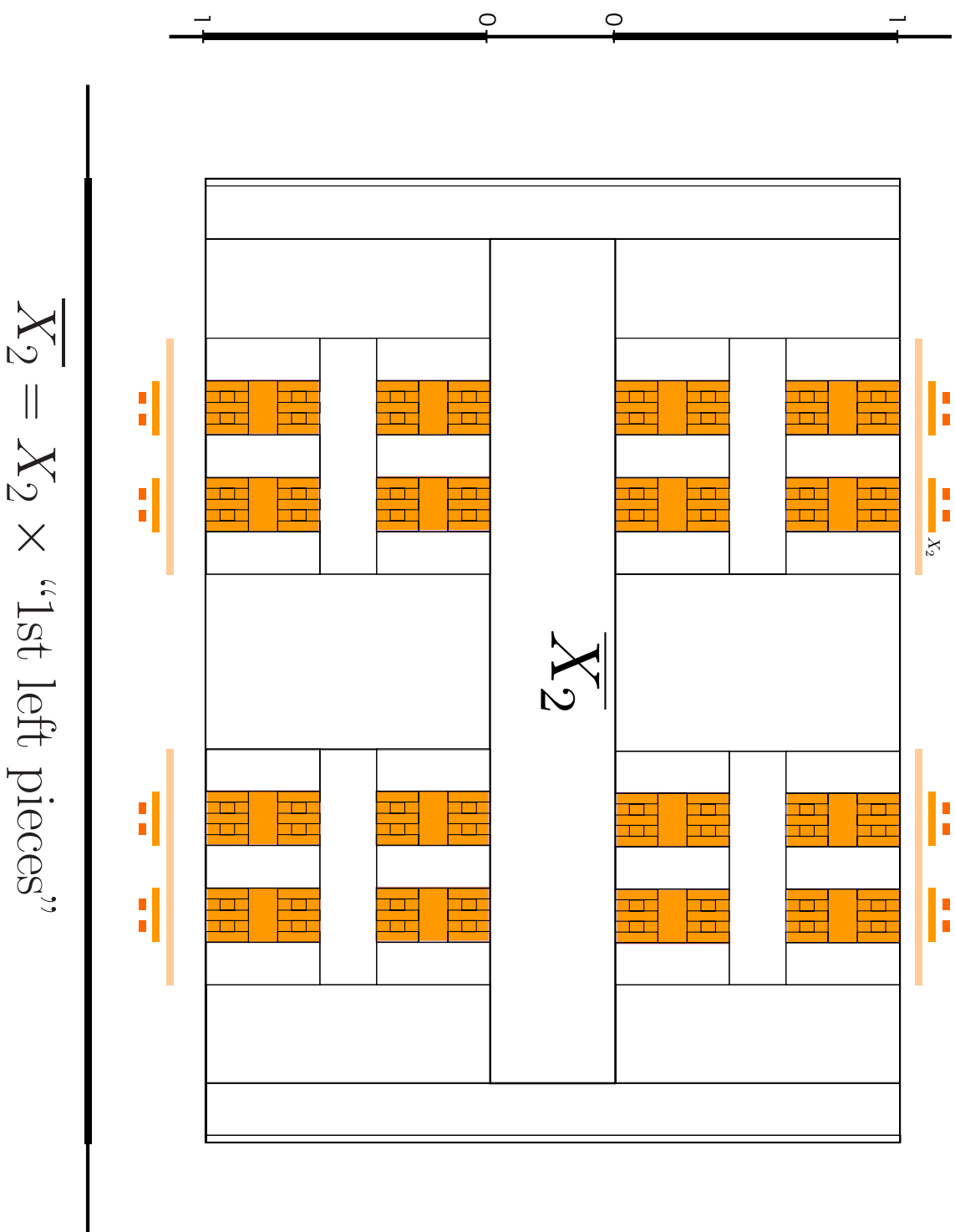
=



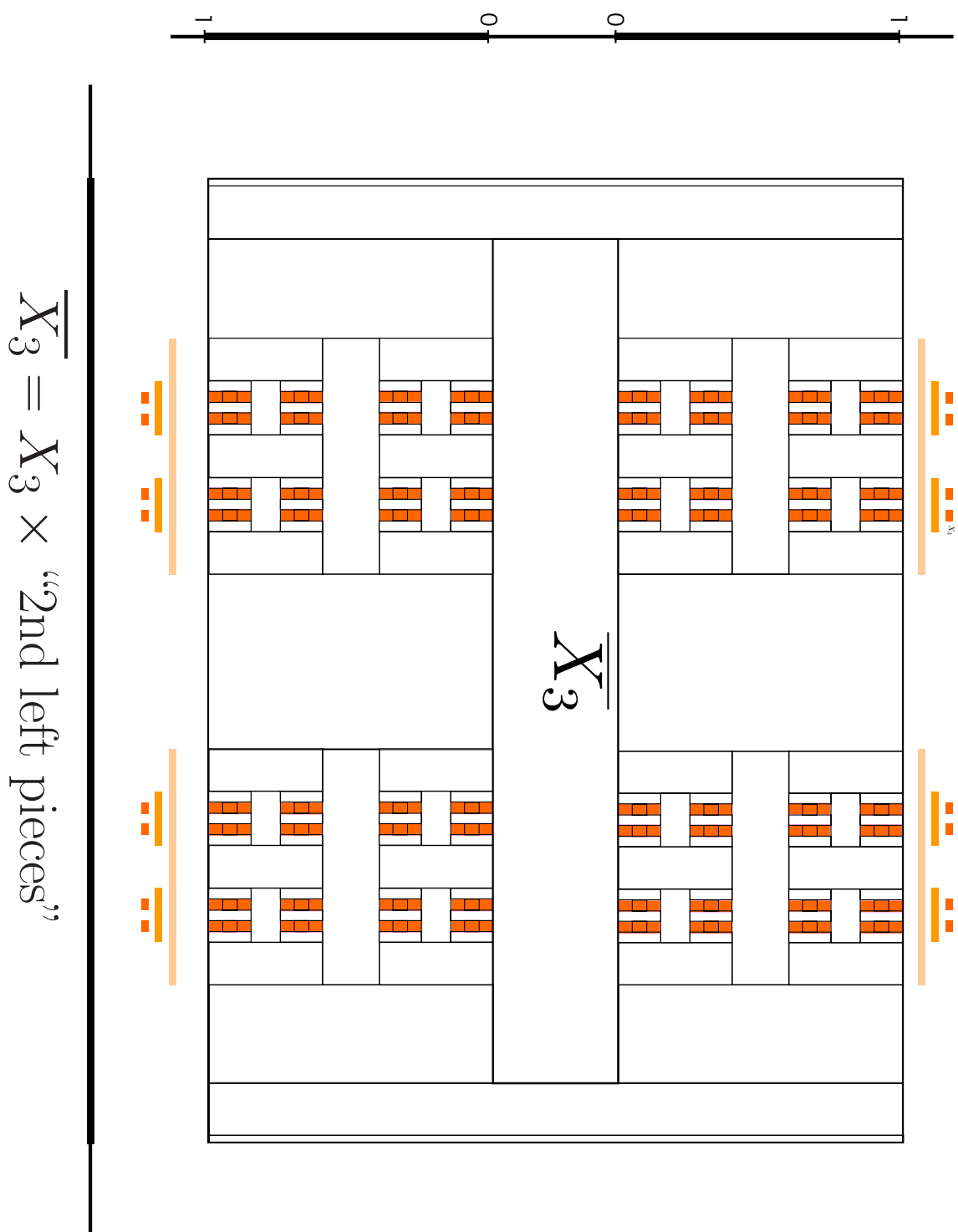
Freedman's Diagram 5.4



Freedman's Diagram 5.4



Freedman's Diagram 5.4



正確には $\overline{X_2} = X_2 \times \text{"1st left pieces"}$ は

$$\begin{aligned}\overline{X_2} &= X_2^{>0} \times [.0, .1] \\ &\cup X_2^{>2} \times [.2, 1]\end{aligned}$$

$X_2^{>2}$ は $\text{CH}_{>2} \dots$ の共通部分を表わす $\text{Link } X_2$ の外部.
 $X_2^{>0}$ は $\text{CH}_{>0} \dots$ の (同上) p.402

正確には $\overline{X_2} = X_2 \times \text{"1st left pieces"}$ は

$$\begin{aligned}\overline{X_2} &= X_2^{>0} \times [.0, .1] \\ &\cup X_2^{>2} \times [.2, 1]\end{aligned}$$

$X_2^{>2}$ は $\text{CH}_{.2\dots}$ の共通部分を表わす $\text{Link } X_2$ の外部.
 $X_2^{>0}$ は $\text{CH}_{.0\dots}$ の (同上) p.402

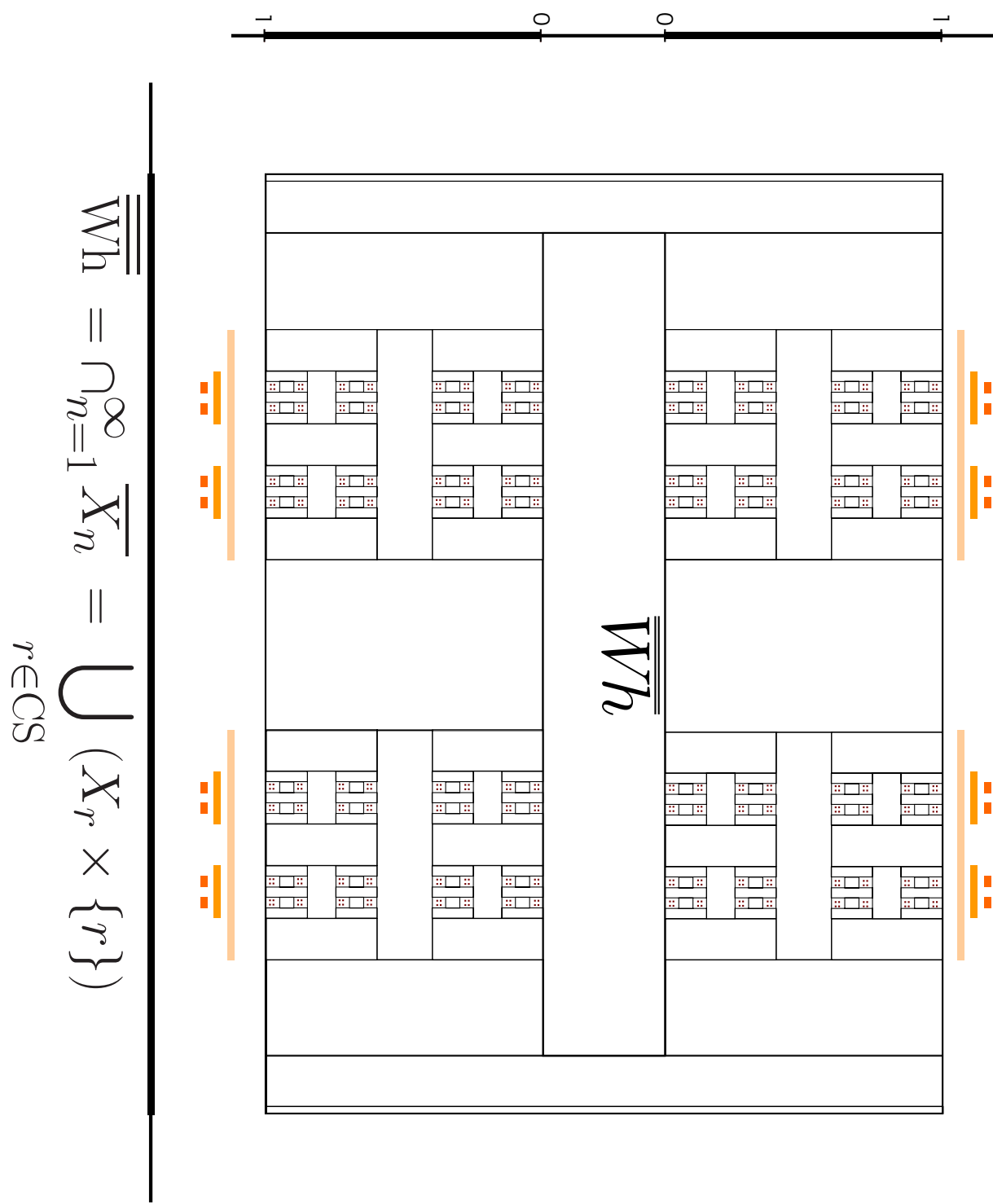
同様に

$$\begin{aligned}\overline{X_3} &= X_3^{>00} \times [.00, .01] \\ &\cup X_3^{>02} \times [.02, .10] \\ &\cup X_3^{>20} \times [.20, .21] \\ &\cup X_3^{>22} \times [.22, 1]\end{aligned}$$

$X_3^{>c_1c_2}$ は $\text{CH}_{.c_1c_2\dots}$ の共通部分を表わす X_3 の外部.

その極限 ($\overline{X_\infty}$) が $\overline{\mathbb{W}\text{h}}$.

Freedman's Diagram 5.4



5章で決めた記号 (p.402)

$$B_k := \overline{X_k} \cap \{D' \times S^1 \times "k\text{-th middle thirds"}\}$$

$$\mathcal{A} := H - \left\{ \bigcup_{k=1}^{\infty} \text{int}B_k \cup \text{int}(D' \times D') \right\}$$

$$\boxed{\mathcal{D} := \mathcal{A} / \overline{\overline{Wh}}}$$

$$\mathcal{D} - \overline{\overline{Wh}} = V \cup Y_0 \cup Y_1 \cup Y_2 \cup \dots,$$

$$Y_k := \text{cl}(\overline{X_k} - (\text{third of } \overline{X_k}) \cup \overline{X_{k+1}})$$

青

緑

Freedman's Diagram 5.4

Y. YAMADA

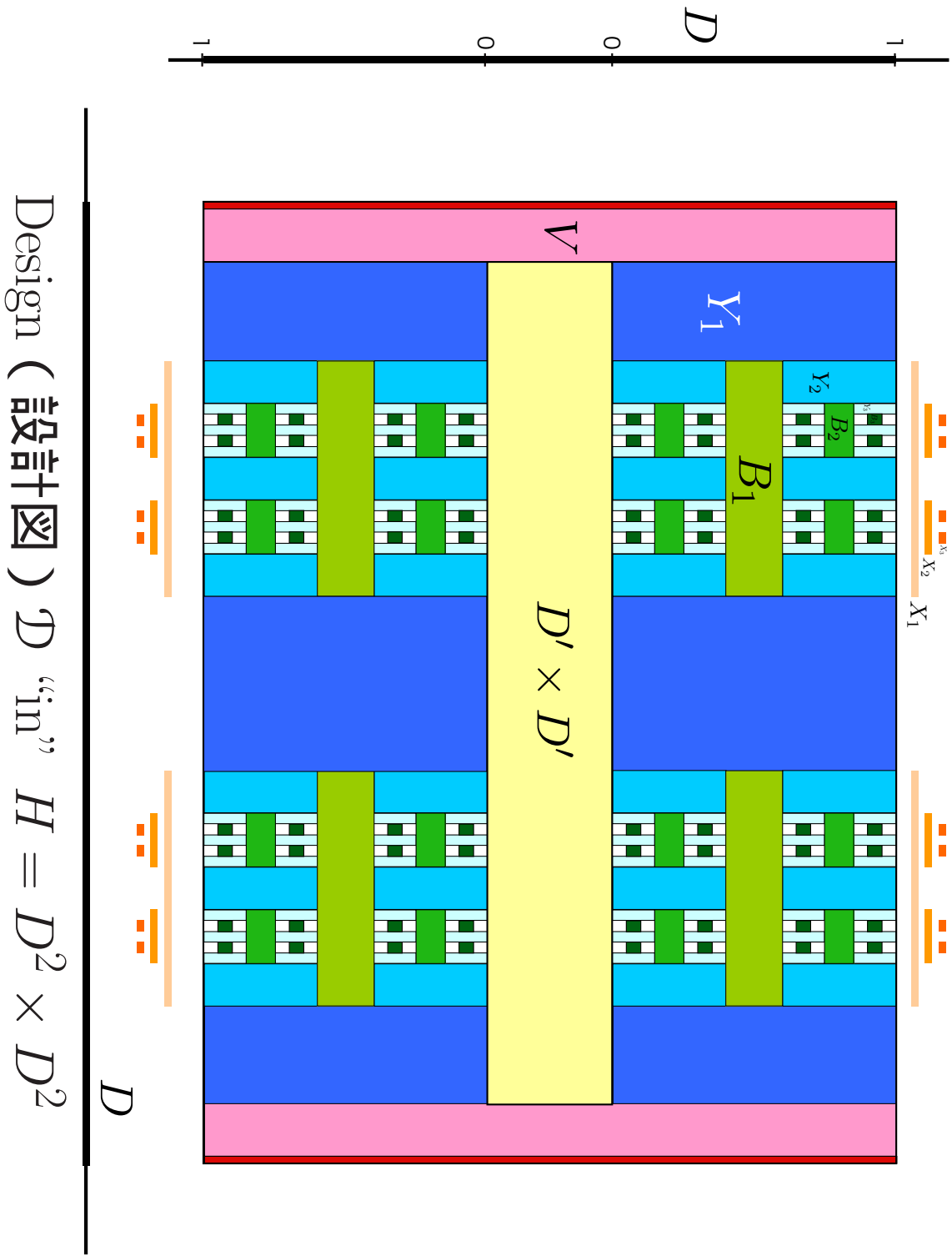
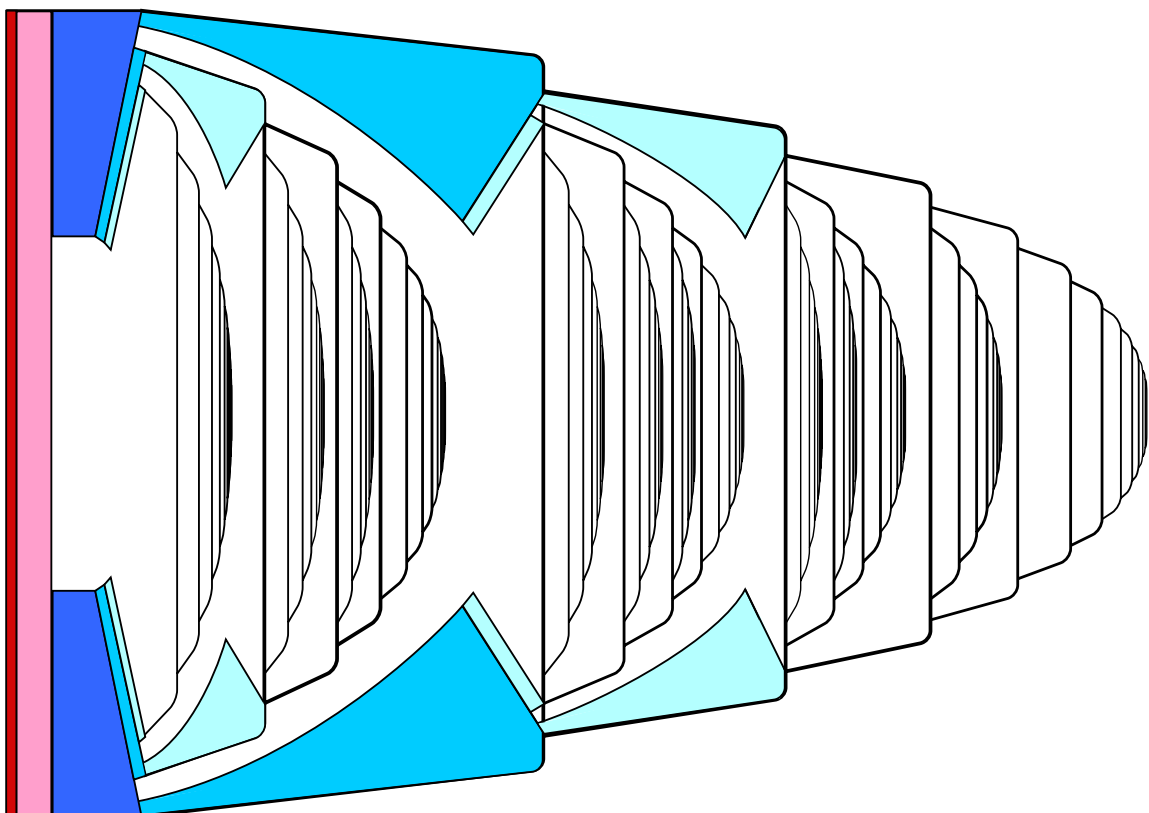


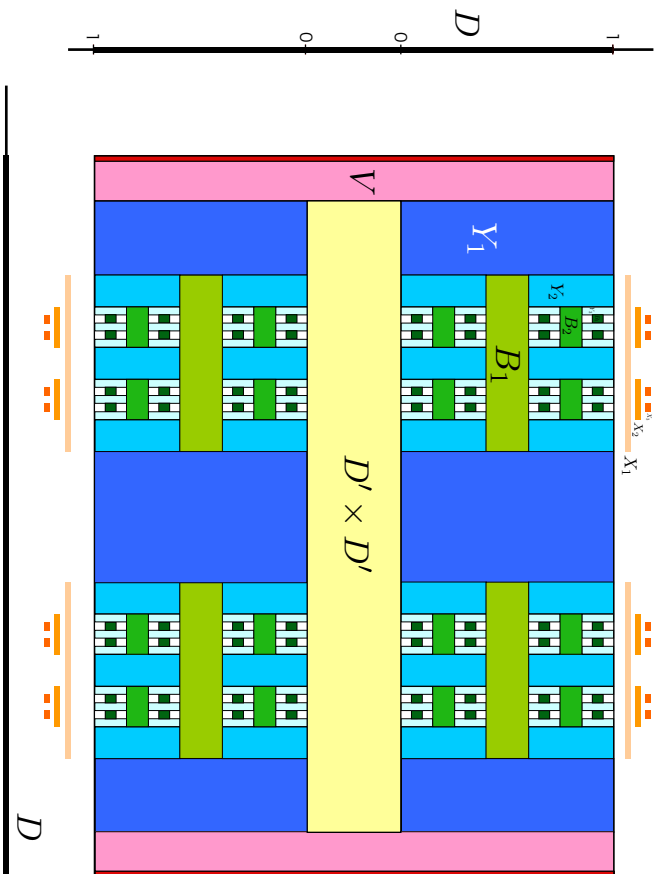
Image ($g : \mathcal{D} \rightarrow \text{CH}$)

g は全射ではない. g の像 (スカラ) がある.

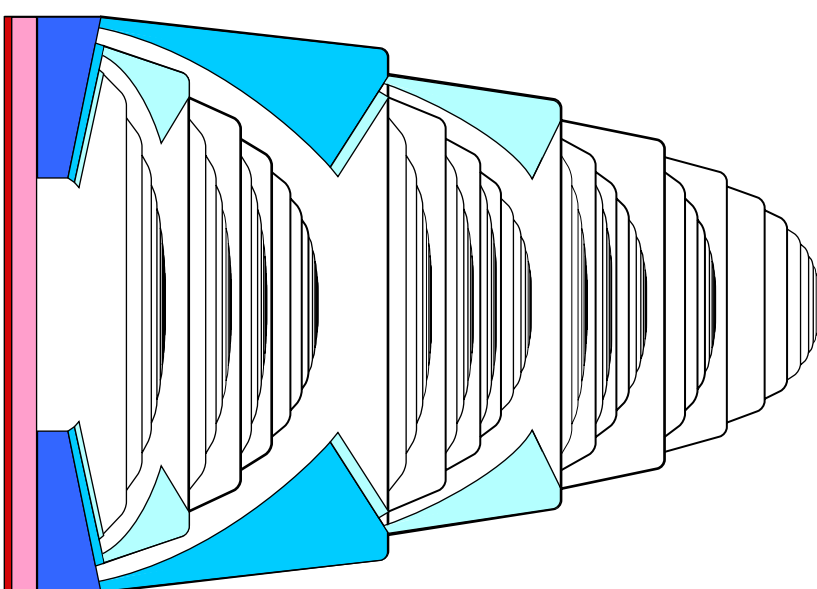


Freedman's Diagram 5.4

Y. YAMADA

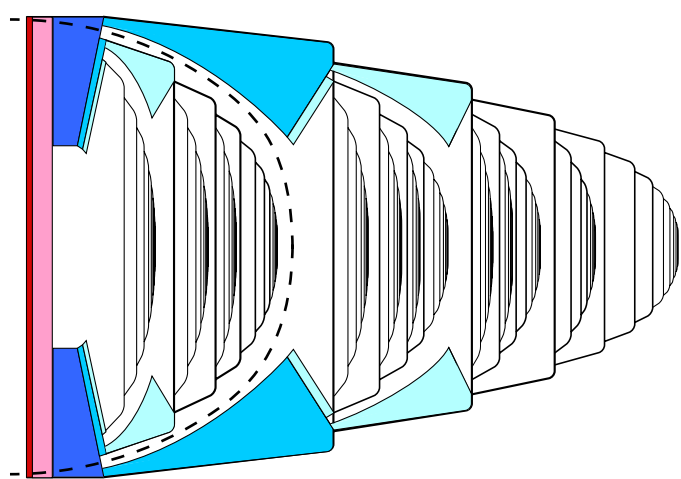
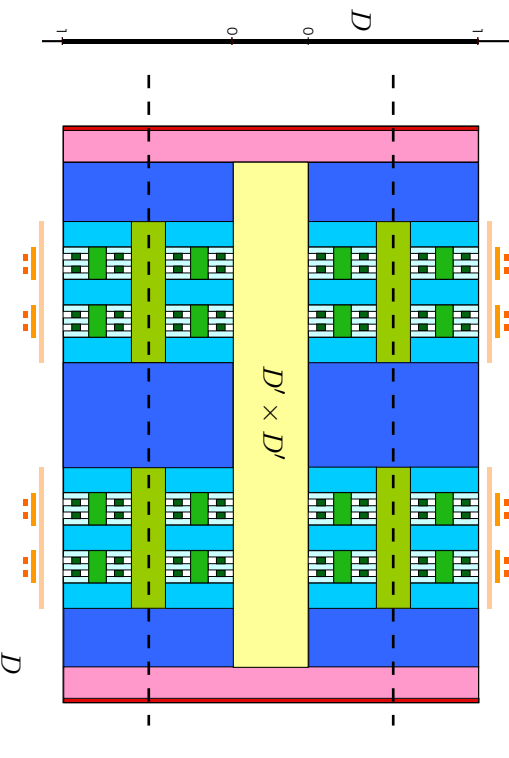


$$\text{map } g : \mathcal{D} \rightarrow \text{CH}$$

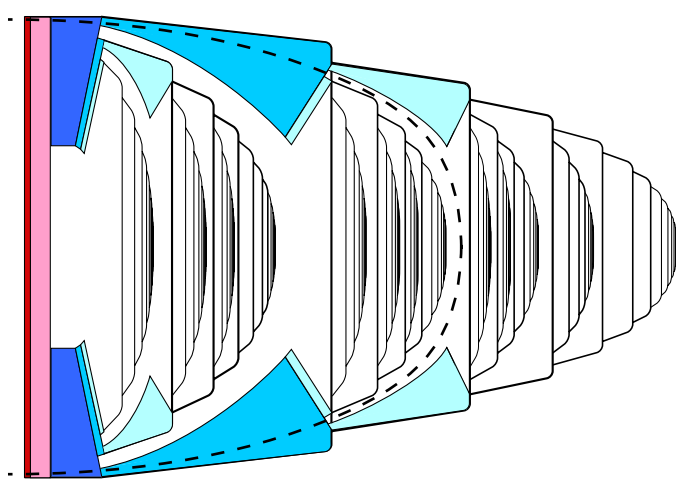
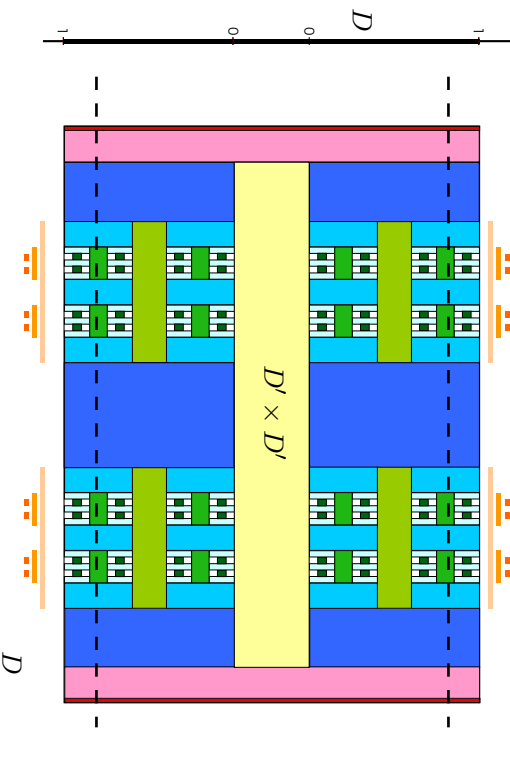
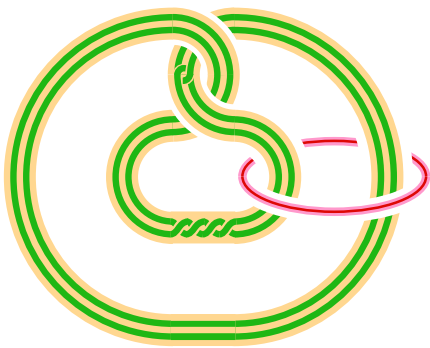


「Level r 」を Solid torus $D_1^2 \times \partial D_2^2(r)$ の意味とすると…

Level $r = 0.111$ (\notin CS)

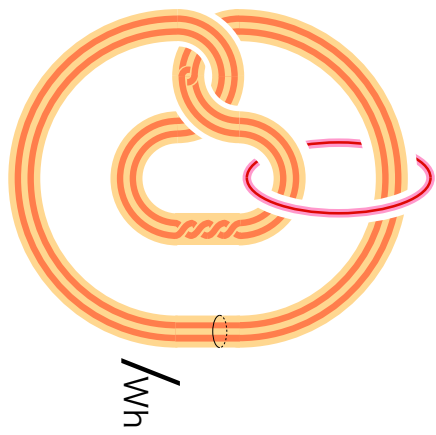


Level $r = 0.212$ (\notin CS)

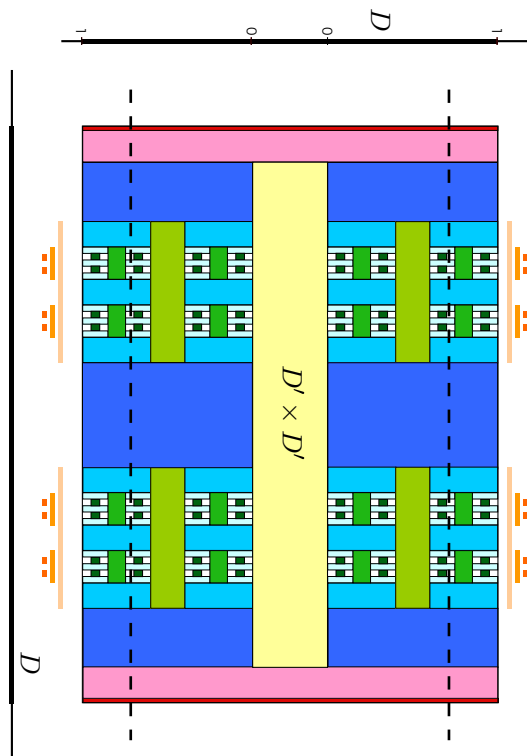
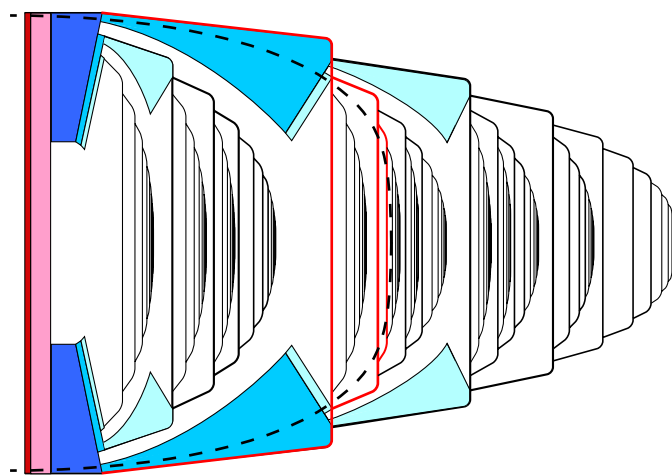


CH_r を表わす 連続体 $Wh = X_{k=\infty}$ がつぶされている。

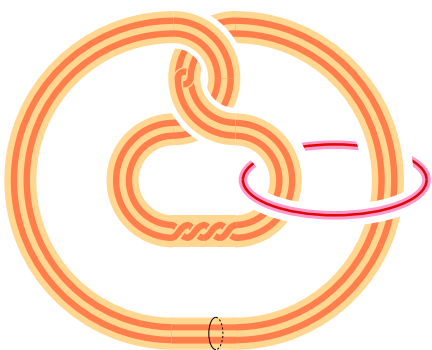
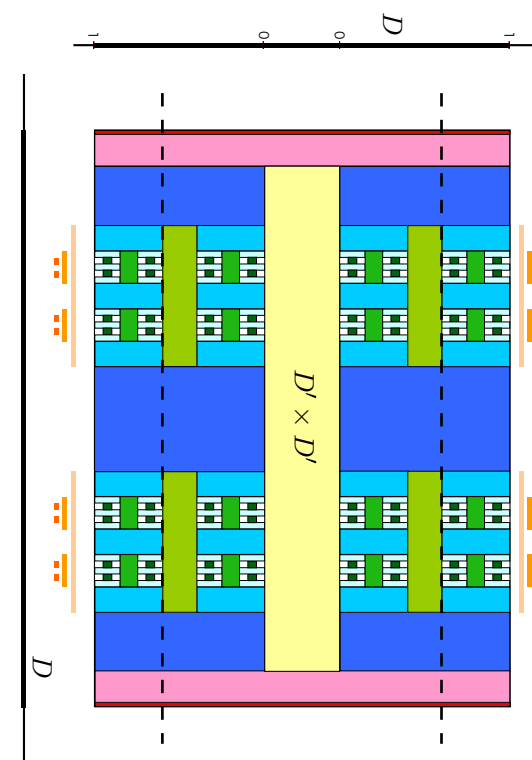
Level $r = 0.\dot{2}0\ddot{2} = 0.2020202\dots$ ($\in \text{CS}^-$)



f_{Wh}



見えてほしかるものか...



Level $r = 0.200 \dots = 0.122 \dots$ ($\in \text{CS} - \text{CS}^-$)